

PARTE II

Modelo Depredador-Presa de Lotka-Volterra

Historia:

Umberto D'Ancona realizó registros pesqueros en el mar Adriático Superior durante y después de la Ira. Guerra Mundial, observando la periodicidad de peces presa y depredador, y notó la DISMINUCION en promedio de los peces presa al disminuir la captura.

El modelo de Lotka-Volterra da una clara explicación de este fenómeno.

En las manos de Volterra nace la ECOLOGIA MATEMATICA.

SUPUESTOS:

- S.1. La población depredadora se alimenta solo de la presa.
- S.2. La población presa se alimenta del medio con recursos ilimitados
- S.3. Ambas poblaciones se distribuyen sin preferencias, sin diferenciación de edades y sexos.

PLANTEAMIENTO (Principio de Continuidad)

$x(t)$ tamaño de la población presa en el tiempo t

$y(t)$ tamaño de la población depredador en el tiempo t

$$\frac{1}{x} \frac{dx}{dt} = a - by$$

En ausencia de y

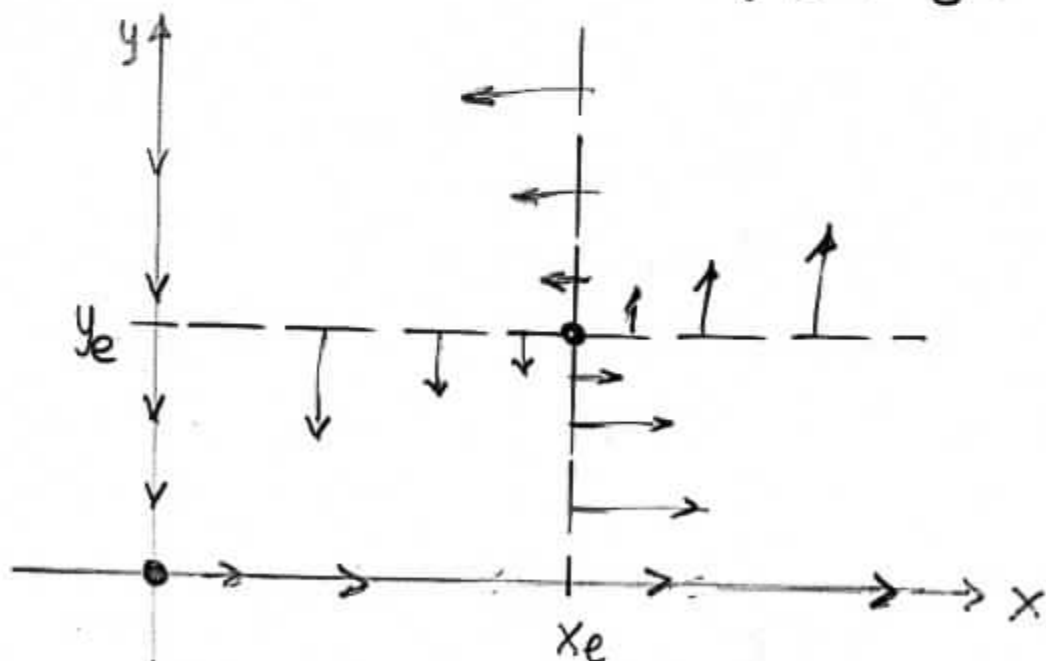
$$\frac{1}{y} \frac{dy}{dt} = cx - \mu$$

En ausencia de x

MODELO

$$(LV) \begin{cases} \frac{dy}{dt} = y(cx - \mu) \\ \frac{dx}{dt} = x(a - by) \end{cases} \quad x, y \geq 0$$

(A) Soluciones de Equilibrio:

Trivial: $(0, 0)$ No-trivial: $(x_e, y_e) = \left(\frac{\mu}{c}, \frac{a}{b}\right)$ 

(B) Calculo de Curvas Integrales

Como antes procedamos a eliminar el tiempo en el sistema (LV); obteniendo q'

$$\frac{dy}{dx} = \frac{y(cx-\mu)}{x(a-by)} \quad (\text{o } \frac{dy}{dx} = \frac{cx-\mu}{x} \frac{y}{a-by})$$

o bien que

$$\frac{a-by}{y} dy = \frac{cx-\mu}{x} dx$$

o sea que

$$(c dx - \mu \frac{dx}{x}) + (by - a \frac{dy}{y}) = 0$$

Así, integrando se obtiene que

~~(C.1) Si $(x(t), y(t))$ es una soln de (LV)~~

~~entonces~~

~~$$h(t) = \text{def } cx(t) - \mu \ln x(t) + by(t) - a \ln y(t) = C$$~~

~~donde $C = cx_0 - \mu \ln x_0 + by_0 - a \ln y_0$, si se tiene que $x(t_0) = x_0, y(t_0) = y_0$.~~

Así, integrando se tiene que

$$V = \int_{x_e}^x (c d\varphi - \mu \frac{d\varphi}{\varphi}) + \int_{y_e}^y (b \eta - a \frac{d\eta}{\eta}), V \text{ cte.}$$

O sea que

$$c(x-x_e) - \mu \ln \frac{x}{x_e} + b(y-y_e) - a \ln \frac{y}{y_e} = V$$

Obs. Si $x(t_0) = x_0, y(t_0) = y_0$ entonces

$$V = V(x_0, y_0)$$

donde

$$V(x, y) = \underset{\text{def}}{c(x-x_e) - \mu \ln \frac{x}{x_e} + b(y-y_e) - a \ln \frac{y}{y_e}} \quad (\text{ec. LV1})$$

(B) Geom. analítica de curvas integrales.

Considérese a la fn:

$$\varphi(z) = \alpha(z-z_e) - \beta \ln \frac{z}{z_e} \quad (z_e > 0 \text{ dado})$$

Propiedades:

(i) $\varphi(z)$ es de clase C^∞ :

$$\varphi(z) \geq 0, \text{ si } z > 0 \text{ y } \varphi(z) = 0 \text{ si } z = z_e$$

Dem. Claramente $\varphi(z_e) = 0$. Y como

$$\varphi'(z) = \alpha - \beta/z, \text{ se sigue que } \varphi'(z_e) < 0$$

Si $z < z_e$; y que $\varphi'(z) > 0$, si $z > z_e$.

(ii) $\varphi(z) \rightarrow \infty$ cdo $z \rightarrow 0^+$

(iii) $\varphi(z) \rightarrow \infty$ cdo $z \rightarrow \infty$

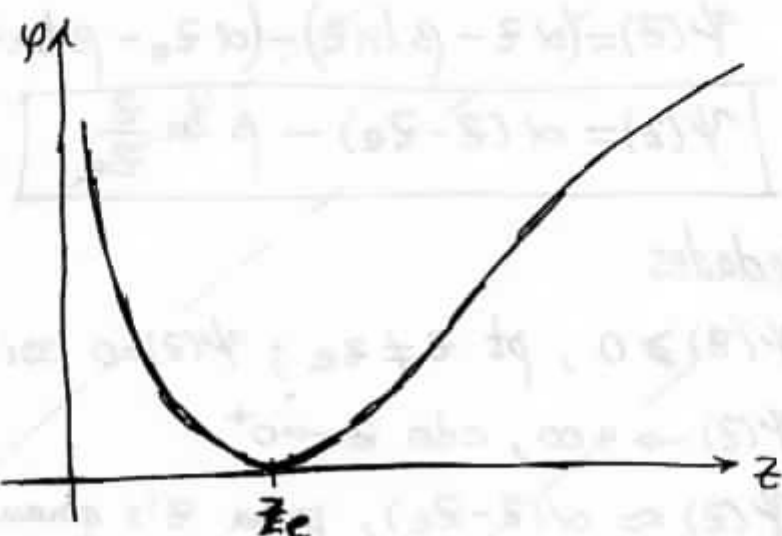


Fig 1. Gráfica de φ .

3.- Sea ~~$\begin{cases} \dot{x} = h(x, y) \\ \dot{y} = g(x, y) \end{cases}$~~

$$V(x, y) = [c(x - x_e) - \mu \ln \frac{x}{x_e}] + [b(y - y_e) - a \ln \frac{y}{y_e}],$$

para $x, y > 0$

Propiedades:

(i). $V(x, y) \geq 0$ pt $(x, y); x, y > 0$

$V(x, y) = 0$ ssi $(x, y) = (x_e, y_e)$

(ii). $V(x, y)$ es continua y diferenciable* en $x > 0, y > 0$.

(iii). Si $(x(t), y(t))$ es una solución de (LV) entonces

$$V(x(t), y(t)) = k, \quad k \geq 0 \text{ cte.}$$

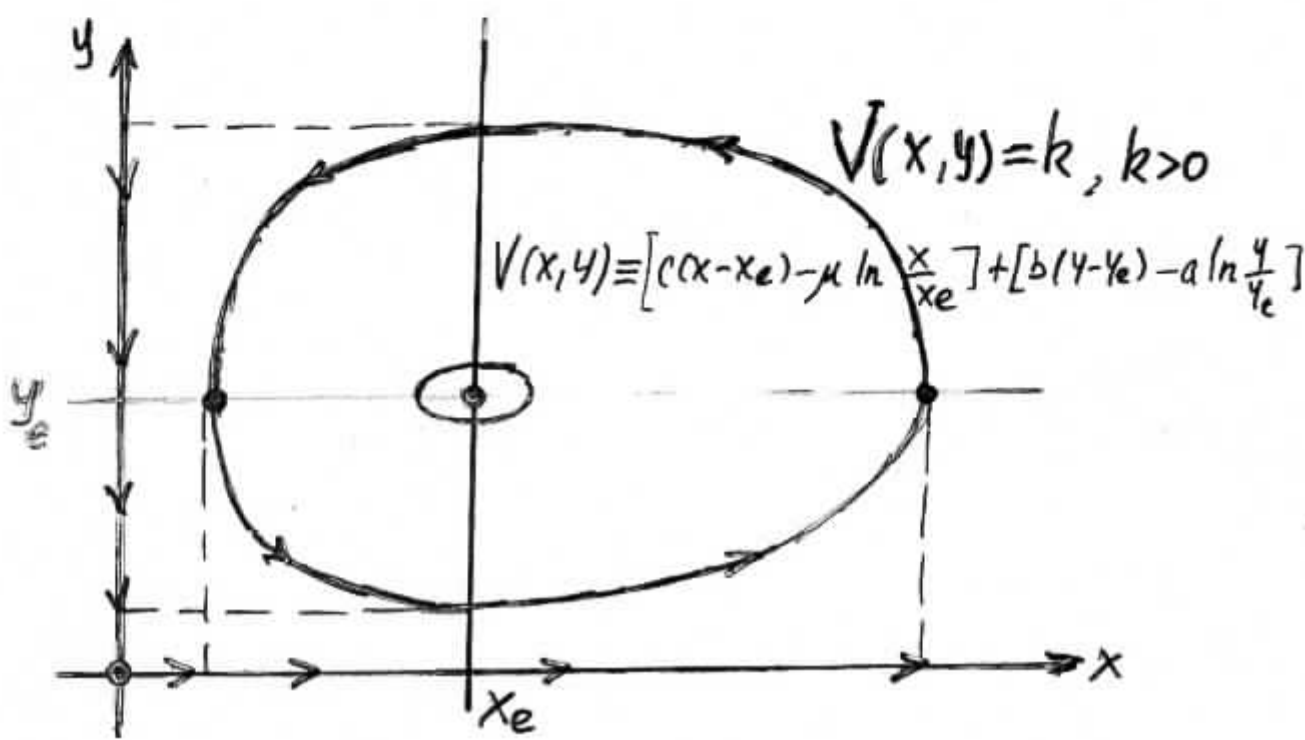
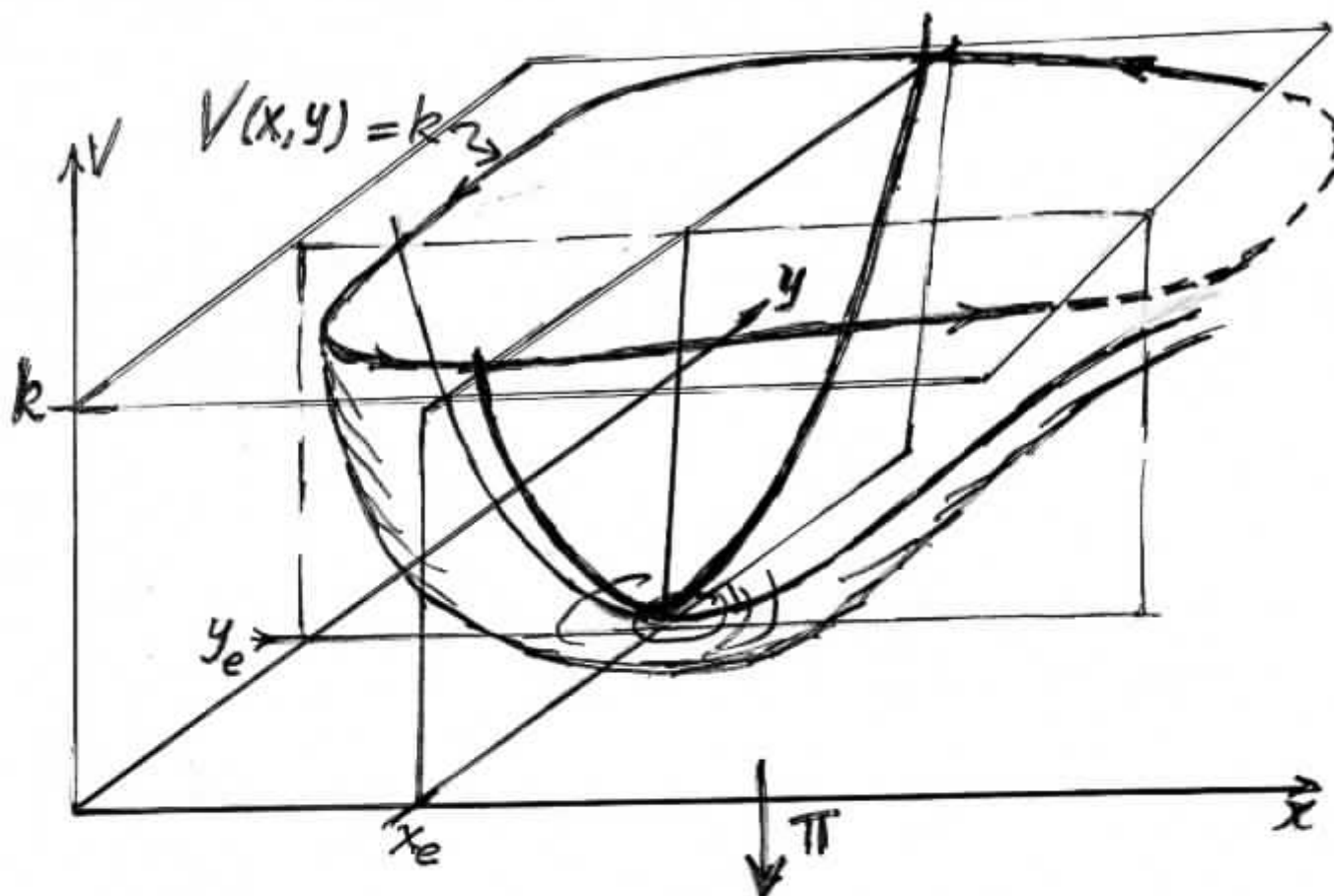
Dem. Ejercicio

~~$$\begin{aligned} V(x(t), y(t)) &= h(x(t), y(t)) - h(x_e, y_e) \\ &= C - h(x_e, y_e) = k. \end{aligned}$$~~

NOTA. Si $V(x(t), y(t)) = 0 \Rightarrow$

$$(x(t), y(t)) = (x_e, y_e) \text{ pt } t$$

(*) De hecho de clase C^∞ .



(C.2) Las soluciones $(x(t), y(t))$ de (LV) son periódicas.

(D) Poblaciones Promedio.

Sea $(x(t), y(t))$ una solución de (LV) de periodo $T > 0$.

Las poblaciones promedio son

$$\bar{x} = \underset{\text{def}}{=} \frac{1}{T} \int_0^T x(t) dt, \quad \bar{y} = \underset{\text{def}}{=} \frac{1}{T} \int_0^T y(t) dt$$

Af. 1. $\bar{x} = x_e, \bar{y} = y_e$. $\frac{dy}{dt} = y(cx - \mu)$

De la 1ra. ecn en (LV) se tiene que

$$\ln \left| \frac{y(T)}{y(0)} \right| = \int_{y(0)}^{y(T)} \frac{dy}{y} = \int_0^T \{ cx(t) - \mu \} dt$$

$$\begin{aligned} y(0) &= y(T) \\ \therefore 0 &= c \int_0^T x(t) dt - \mu T \Rightarrow \frac{1}{T} \int_0^T x(t) dt = \frac{\mu}{c} = x_e \end{aligned}$$

Análogamente, se tiene que $\bar{y} = y_e$.

(E) Explicación de Volterra al Fenómeno D'Ancona.

El modelo de (LV) bajo captura es

$$\frac{dy}{dt} = y(cx - \mu) - \varepsilon y$$

$$\frac{dx}{dt} = x(a - by) - \varepsilon x$$

Si se supone que la captura es proporcional a las poblaciones.

Rescribiendo dicho sist. como

$$\frac{dy}{dt} = y(cx - (\mu + \varepsilon))$$

$$\frac{dx}{dt} = x((a - \varepsilon) - by)$$

se sigue inmediatamente (A.F. 1) que

$$\bar{x}_\varepsilon = \frac{\mu + \varepsilon}{c}, \quad \bar{y}_\varepsilon = \frac{a - \varepsilon}{b}$$

Ilustración: ¡Plagas que crecen, en promedio, bajo fumigación!

(F) Calculando el Período de Oscilación.

El método empleado en el Oscilador Armónico y el Péndulo para hallar una expresión analítica para el periodo de oscilación, ahora no funciona.

Pues no se ve nada fácil despejar a y como función de x de ^{explicitam.}

$$V(x, y) = k$$

$$V(x, y) = \left[c(x - x_e) - \mu \ln \frac{x}{x_e} \right] + \left[b(y - y_e) - a \ln \frac{y}{y_e} \right]$$

Alternativa: Cálculo numérico (véase tarea del tema).

(G) Cálculo del Período para Oscilaciones

Pequeñas alrededor de (x_e, y_e) .

Tomando $x = x_e + \xi$, $y = y_e + \eta$ se tiene que

$$\begin{aligned}\frac{d\eta}{dt} &= \frac{dy}{dt} = (y_e + \eta)(c(x_e + \xi) - \mu) \\ &= (y_e + \eta)(cx_e - \mu) + c(y_e + \eta)\xi \\ \therefore \frac{d\eta}{dt} &= c'\xi + c\xi\eta, \quad c' = cy_e\end{aligned}$$

Análogamente, se tiene que

$$\frac{d\xi}{dt} = -b'\eta - b\eta\gamma, \quad b' = bx_e$$

Luego, despreciando los términos cuadráticos:

$$\left\{ \begin{array}{l} \frac{dy}{dt} = y(cx - \mu) \\ \frac{dx}{dt} = x(a - by) \end{array} \right\} \longrightarrow \left\{ \begin{array}{l} \frac{d\eta}{dt} = c'\xi \\ \frac{d\xi}{dt} = -b'\eta \end{array} \right\}$$

$$c' = cy_e, \quad b' = bx_e$$

Ahora recordemos que

$$(1) \quad m\ddot{x} + kx = 0 \rightarrow \begin{cases} \ddot{x} = -\frac{k}{m}x \\ \dot{x} = v \end{cases} \rightarrow T = 2\pi\sqrt{\frac{m}{k}}$$

$$(2) \quad l\ddot{\theta} + g\theta = 0 \rightarrow \begin{cases} \ddot{\theta} = -\frac{g}{l}\theta \\ \dot{\theta} = \omega \end{cases} \rightarrow T = 2\pi\sqrt{\frac{l}{g}}$$

Así, multiplicando por $-\frac{1}{b'}$ y tomando $\zeta = -b't$ se sigue que

$$\begin{cases} -\frac{1}{b'} \frac{d\eta}{dt} = -\frac{c_1}{b'} \xi \\ -\frac{1}{b'} \frac{d\xi}{dt} = \eta \end{cases} \xrightarrow{\zeta = -b't} \begin{cases} \frac{d\eta}{d\zeta} = -\frac{c_1}{b'} \xi \\ \frac{d\xi}{d\zeta} = \eta \end{cases}$$

$$\therefore T_{(2)} = 2\pi\sqrt{\frac{b'}{c_1}}$$

Y como el signo menos en $\zeta = -b't$ sólo invierte el sentido de recorrido:

$$T = \frac{1}{b'} T_{(2)} = \frac{1}{b'} (2\pi\sqrt{\frac{b'}{c_1}}) \Rightarrow T = \frac{2\pi}{\sqrt{b'c_1}}$$

$$\therefore T = \frac{2\pi}{\sqrt{a\mu}} \leftarrow \text{debido al parecer a LOTKA.}$$

Aún cuando no se ve como hallar una expresión analítica explícita para el período $T(C)$, se puede, sin embargo, demostrar la sgte

TMA. Para la solución de (LV) con C.I.

$$x(0) = A, \quad y(0) = y_0$$

se tiene que $T_A \rightarrow \infty$, cdo $A \rightarrow 0^+$.

Dem. ~~Tarea.~~

Sug: Para ello, ~~héchase~~ mano del tma. de continuidad de la solución con respecto a sus C.I.

Tma Sea $\Omega \subset \mathbb{R}^n$ abierto, $f: \mathbb{R} \times \Omega \rightarrow \mathbb{R}^n$ continua y globalmente Lipschitz (i.e. existe $L > 0$ tq $\|f(t, \underline{x}) - f(t, \underline{y})\| \leq L \|\underline{x} - \underline{y}\|$, pt (t, \underline{x}) , $(t, \underline{y}) \in \mathbb{R} \times \Omega$). Si $\underline{\varphi}(t)$ y $\underline{\psi}(t)$ son las soluciones correspondientes a los prtos:

$$\dot{\underline{x}} = f(t, \underline{x}) \quad \dot{\underline{y}} = f(t, \underline{y})$$

$$\underline{x}(t_0) = \underline{x}_0 \quad \underline{y}(t_0) = \underline{y}_0$$

para $t \in [t_0, t_0 + T]$ entonces

$$\|\underline{\varphi}(t) - \underline{\psi}(t)\| \leq \|\underline{x}_0 - \underline{y}_0\| e^{LT}$$

(i.e. Dada $\varepsilon > 0$

$$\|\underline{\varphi}(t) - \underline{\psi}(t)\| < \varepsilon \quad \text{pt } t \in [t_0, t_0 + T],$$

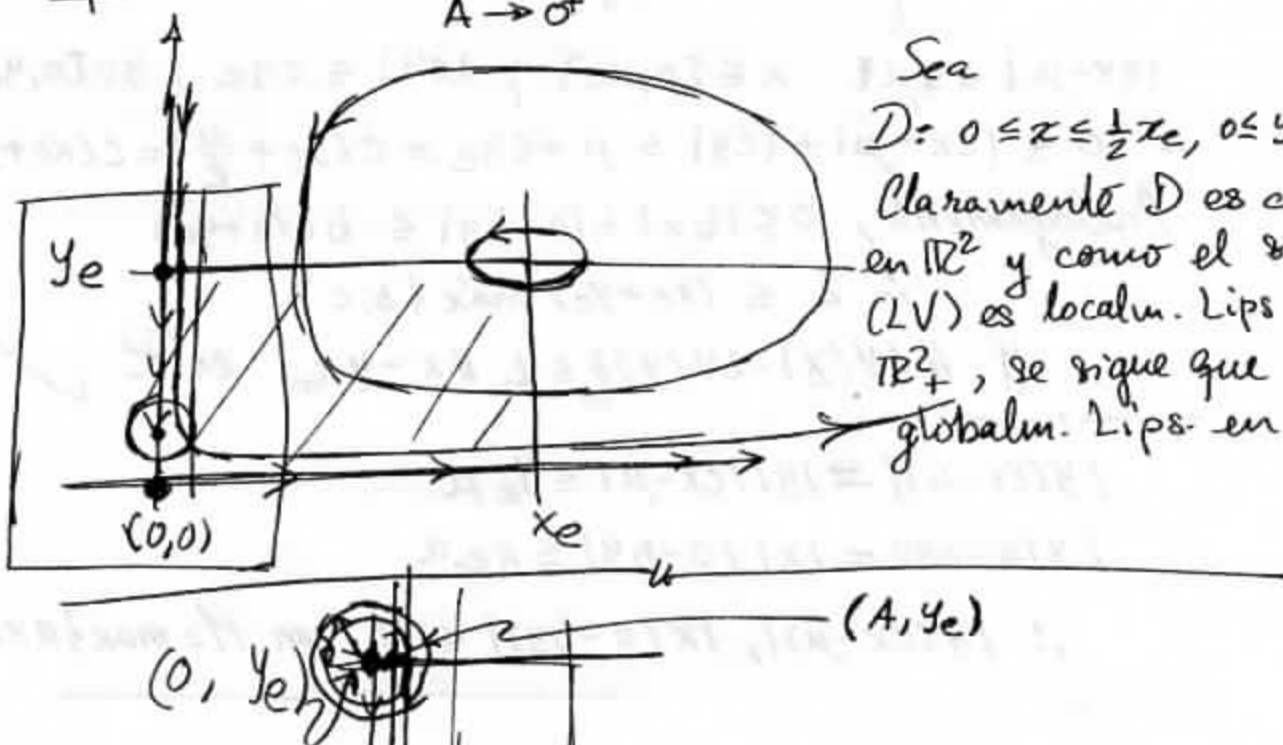
$$\text{si } \|\underline{x}_0 - \underline{y}_0\| < \delta = \varepsilon e^{-LT}.$$

15d

Aplicación: $T_A \rightarrow \infty$

$A \rightarrow 0^+$

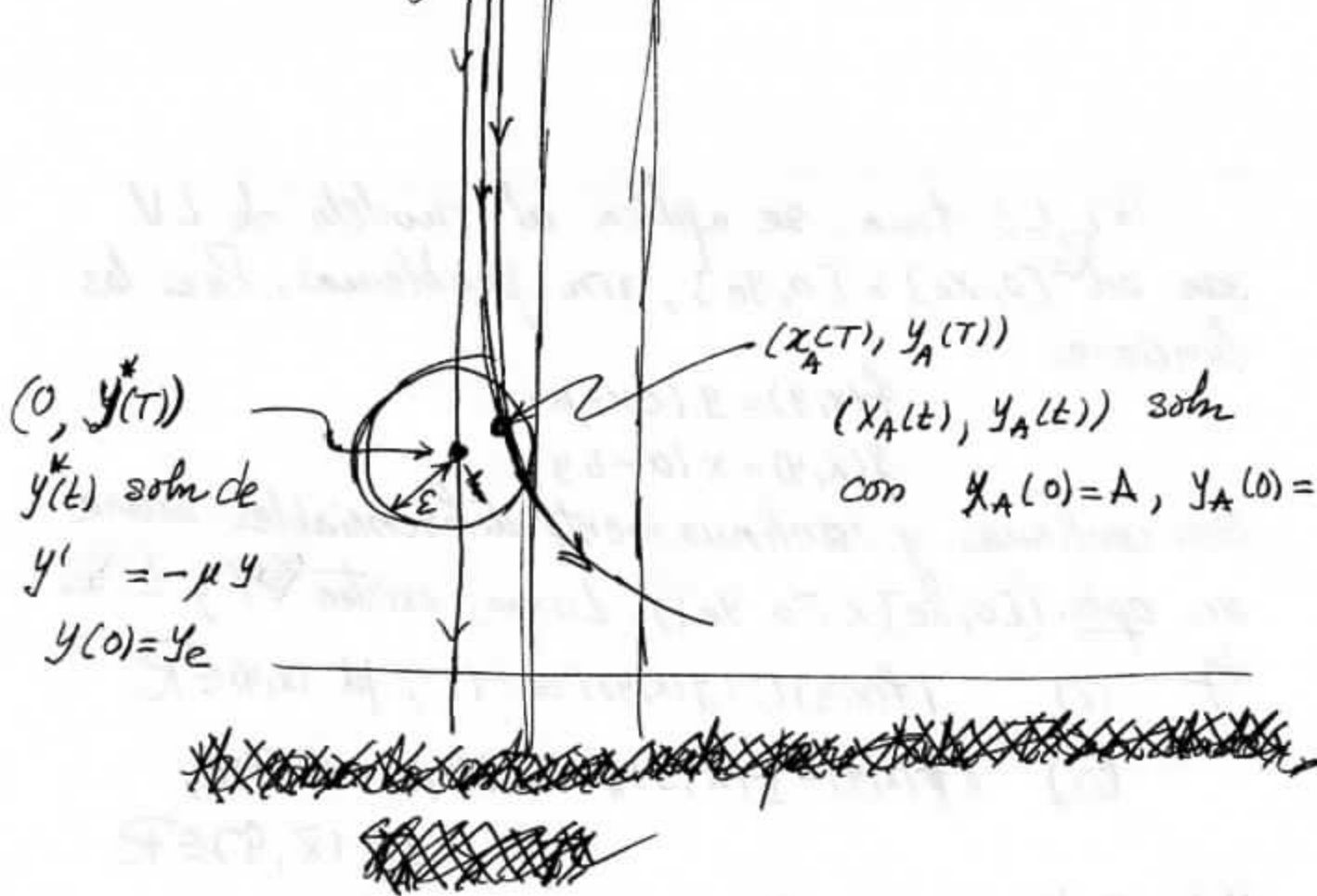
$$x(0) = A, y(0) = y_e$$



Sea

$$D: 0 \leq x \leq \frac{1}{2}x_e, 0 \leq y \leq y_e$$

Claramente D es cpt. en \mathbb{R}^2 y como el syst (LV) es localm. Lips en \mathbb{R}^2_+ , se sigue que es globalm. Lips. en D .



$$(0, y^*(T))$$

$y^*(t)$ soln de

$$y' = -\mu y$$

$$y(0) = y_e$$

$$(x_A^*(T), y_A^*(T))$$

$$(x_A(t), y_A(t)) \text{ soln}$$

$$\text{con } x_A(0) = A, y_A(0) = y_e$$

16d

Como para $\varepsilon > 0$ y $T \gg 1$ dados, existe $\delta > 0$ tq

$$\| (X_A(T), Y_A(T)) - (0, y^*(T)) \| < \varepsilon, \text{ si } 0 < A < \delta$$

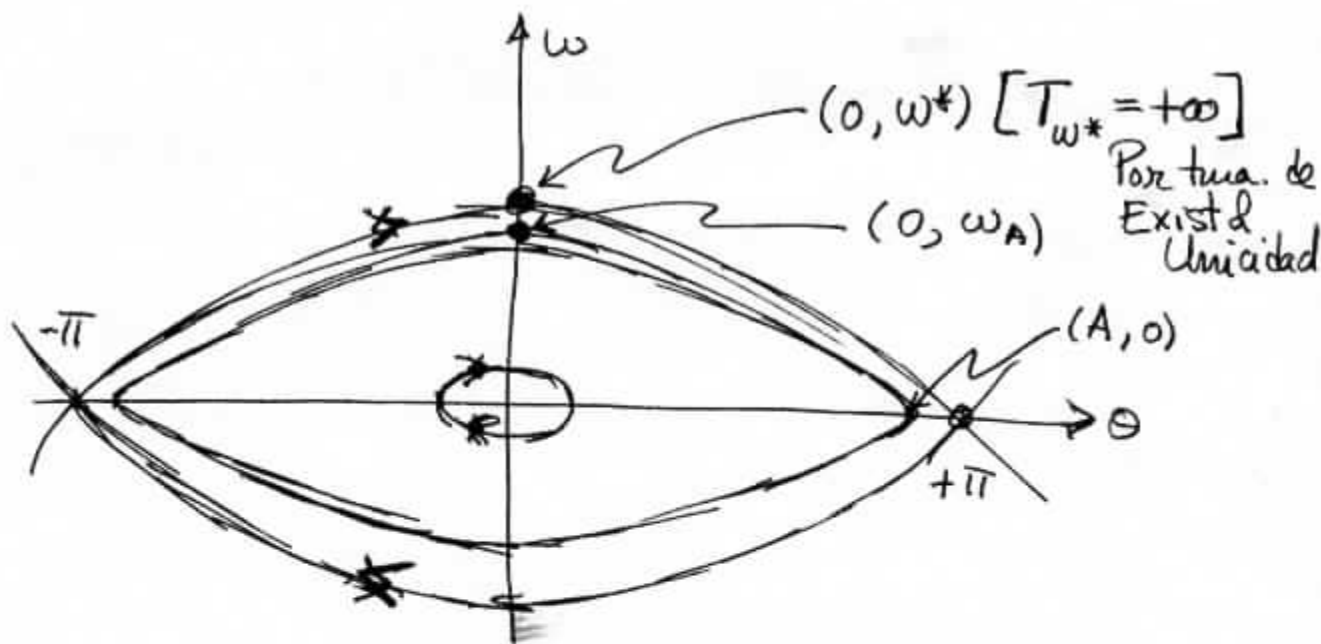
se sigue que Dado $T \gg 1$ existe $\delta > 0$ tq

$$T_A > T, \text{ si } 0 < A < \delta$$

Esto es, $T_A \rightarrow \infty$ cuando $A \rightarrow 0^+$.

l.Rsg.d. ~~#~~

Este mismo método se aplica al P\'endulo



Concretamente

$$T_A \rightarrow +\infty \text{ cdo } w_A \rightarrow w^*$$

i.e.
$$T_A \rightarrow +\infty \text{ cdo } A \rightarrow \pi$$